D101 大孔树脂富集白术内酯 I 和 III 工艺研究

周 玫1,梁志远1,2*,甘秀海1,2,冉晓燕2,何军2

(1. 贵州师范学院化学与生命科学学院,贵州贵阳 550018;2. 贵州师范学院药用植物研究所,贵州贵阳 550018)

摘要 「目的]以白术为材料,研究白术内酯I和Ⅲ 富集工艺条件。[方法]通过静态吸附和解吸比较6种大孔树脂对2种白术内酯的富 集效果,对效果好的大孔树脂进行动态试验研究。[结果]用 D101 大孔树脂富集白术内酯I和 Ⅲ 的最佳工艺:上样液白术内酯I和 Ⅲ 质 量浓度分别为 25.6 和 59.7 μg/mL,上样量 4 BV,流速 2 BV/h,依次用 16 BV 水、6 BV 30% 乙醇除杂,12 BV 75% 乙醇以 2 BV/h 流速洗 脱,白术内酯I和 III 的回收率分别为 100.00% 和98.24%。[结论] D101 大孔树脂富集白术粗提物中白术内酯I和 III 的方法简单可行。

关键词 白术:白术内酯:富集:大孔树脂:工艺条件

中图分类号 R284.1:R282.71 文章编号 0517-6611(2016)24-131-05 文献标识码 A

Technology of Atractylenolide Enrichment I and III by D101 Macroporous Resin

ZHOU Mei¹, LIANG Zhi-yuan^{1,2*}, GAN Xiu-hai^{1,2} et al (1. School of Chemistry and Life Science, Guizhou Normal College, Guiyang, Guizhou 550018; 2. Research Institute of Medicinal Plant, Guizhou Normal College, Guiyang, Guizhou 550018)

Abstract [Objective] To research the enrichment process of atractylconolide I and III with Atractylodes macrocephala Koidz as the research materials. Method The enrichment effects of 6 different macroporous resins were compared by static adsorption and desorption experiments. Dynamic test was carried out on the best macroporous resin. [Result] The optimal technology of atractylconolide I and III enrichment by D101 macroporous resin was as follows; mass concentrations of atractylcnolide and III were 25.6.2 and 59.7 µg/mL, respectively; 4 BV sample volume, 2 BV/h flow rate, eluting with 16 BV water, 6 BV 30% ethanol and 12 BV 75% ethanol in turn. Under this condition, the the recovery rate of atractylcnolide and III were up to 100.00% and 98.24%, respectively. [Conclusion] It is a simple and effective enrichment process of atractylenolide from crude extracts of Atracttylodes macrocephala Koidz by D101 macroporous.

Abstract Atractylodes macrocephala Koidz; Atractylenolide; Enrichment; Macroporous resin; Technology condition

白术为菊科(Compositae)植物白术(Atracttylodes macrocephala Koidz)的干燥根茎,是我国传统中药之一,具有健脾、 益气、安胎、止汗等功效,常用于脾虚食少、腹胀泄泻、胎动不 安、自汗等症[1]。随着对白术研究的深入,证实其还具有降 血糖、免疫调节、镇痛、抑制代谢活化酶、抗肿瘤等活性[2-4]。 白术内酯I和 III 是白术的有效成分,也是白术质量控制的主 要指标^[5-7]。但白术中白术内酯I和 III 的含量较少,直接从 白术提取的粗提物中白术内酯I和 III 含量低[8-9],不能满足 医药行业的要求。因此,从白术粗提物中高效、快速地富集 得到一定含量的白术内酯I和 III 产品,具有很高的经济价值 与现实意义。

大孔树脂具有吸附容量大、选择性高、可再生循环使用、 工艺简单、不存在金属和有机溶剂毒性残留[10]等优点,已广 泛应用于中药有效成分如黄酮、生物碱、多糖、皂苷等的富集 纯化中[11-14]。从白术中提取白术内酯I和 Ⅲ 工艺研究已有 不少报道[15-18],但用大孔树脂富集纯化白术内酯I和 III 的相 关研究报道很少,仅李鸿翔等[19] 尝试用 AB-8 型大孔树脂 分离纯化白术水提液中白术内酯 III,且取得良好的效果。该 研究以白术为材料,通过静态吸附和解吸比较6种大孔树脂 对白术内酯I和 III 的富集效果,对效果好的大孔树脂进行动 态试验,研究2种白术内酯的富集工艺条件。

1 材料与方法

1.1 仪器 Agilent 1260 高效液相色谱仪(美国惠普公司);

基金项目 贵阳市乌当区科学技术计划项目([2012]乌科技合同字第 53号)。

周玫(1984 -),女,山东荣城人,讲师,硕士,从事天然产物化学 成分研究。*通讯作者,教授,从事天然产物化学研究。 收稿日期 2016-06-20

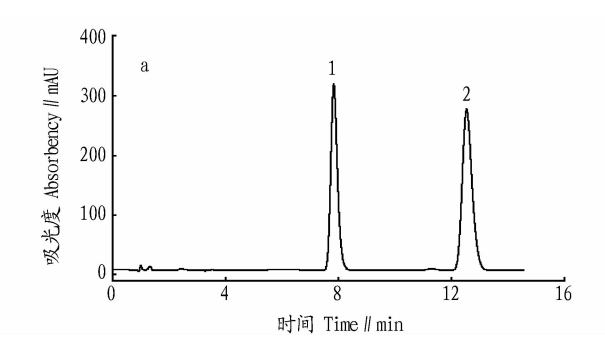
BSA124S 型电子天平(北京慧龙环科环境仪器有限公司); KQ3200B型超声波清洗器(昆山市超声仪器有限公司);QHZ-98B 全温光照振荡培养箱(江苏省太仓市美华生化仪器厂)。

1.2 试材 白术内酯I和 III 对照品(购自贵州省迪大科技 有限责任公司,批号分别为 GZ73069 - 12 - 3 和 GZ73030 -71-4,纯度均大于99%);白术购于贵阳药材市场,经贵阳中 医学院席先蓉教授鉴定为白术(Atracttylodes macrocephala Koidz)的干燥根茎。D101、NKA、X-5、H107、DM130、AB-8 大孔树脂(湖南长沙大禹化工有限公司)。甲醇为色谱纯,水 为娃哈哈纯净水, 乙醇为食用级, 其余试剂均为分析纯。

1.3 方法

- 1.3.1 白术内酯含量测定
- 1.3.1.1 对照品储备液的制备。分别精密称取白术内酯I和 III 对照品 2.0 和 4.0 mg,用甲醇溶解并定容至 25 mL,制成 白术内酯I和 III 浓度分别为 0.08 和 0.16 mg/mL 的混合对照 品储备液。
- 1.3.1.2 白术内酯粗提液的制备。称取适量白术药材粉末 (过20目筛),加12倍体积分数85%乙醇,50℃超声提取2 次,每次30 min,过滤,合并滤液,减压浓缩至无乙醇味,用体 积分数为5%乙醇配成所需浓度,减压过滤,得黄色稍浑滤 液,即白术粗提液。
- **1.3.1.3** 色谱条件。ZORBAXSB. C₁₈ (150 mm × 4.6 mm, 5 μm);流动相为甲醇: 水 = 65: 35;流速 1.0 mL/min;检测波长 220 nm;柱温 30 ℃;进样量 10 μL。在此条件下,色谱图见图 1。 1.3.1.4 标准曲线的绘制。分别精密吸取对照品储备液 0.10、0.25、0.50、1.00、2.50、5.00、10.00 mL 置 10 mL 容量瓶

中,加甲醇至刻度,摇匀,得白术内酯I浓度分别为 0.8、2.0、



注:1 为白术内酯 III;2 为白术内酯I。

Note: Peak 1 was atractylcnolide III; and peak 2 was atractylcnolide I.

图 1 白术内酯I和 III 对照品(a)和供试品(b) HPLC 色谱图

Fig. 1 HPLC chromatograms of reference substance (A) and tested substance (B) of atractylcnolideland III

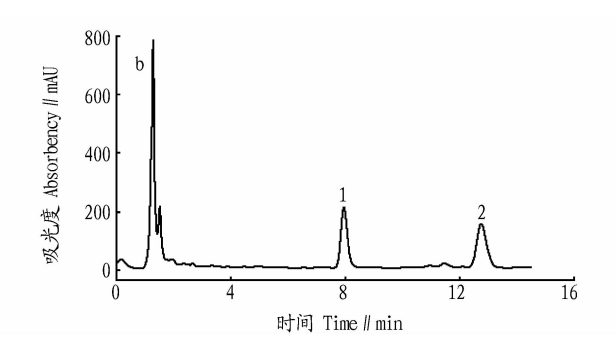
4.0、8.0、20.0、40.0、80.0 μg/mL 和白术内酯 III 浓度分别为 1.6、4.0、8.0、16.0、40.0、80.0、160.0 μg/mL 的对照品溶液。在"1.3.1.3"色谱条件下进行分析。以白术内酯质量浓度(μg/mL)为横坐标、峰面积为纵坐标绘制标准曲线,并进行线性回归,求得白术内酯I和 III 的回归方程分别为 $Y=38.822X+16.016(R^2=0.9999)$ 、 $Y=27.333X+31.197(R^2=0.9999)$,表明白术内酯I和 III 分别在 0.8~80.0、1.6~160.0 μg/mL 范围内峰面积积分值与浓度呈良好的线性关系。

1.3.1.5 方法学考察。

- (1)精密度试验。精密吸取对照品储备液 $10~\mu L$,重复进样 $5~\kappa$,白术内酯Im Im 的 RSD 分别为 0.77% 和 0.55%,表明仪器精密度良好。
- (2)稳定性试验。取白术内酯粗提液,分别于 0、1、2、4、8、12、24 h 内测定,在 8 h 内白术内酯I和 III 的 *RSD* 分别为 1.63% 和 1.68%,表明供试品溶液在 8 h 内稳定。
- (3)重复性试验。精密称取同一批次白术药材粉末 5份,按"1.3.1.2"制备白术内酯粗提液,按"1.3.1.3"色谱条件测定其含量,测得白术内酯I和 III 的 RSD 分别为 1.36% 和 1.40%,表明该方法重复性良好。
- (4)加样回收率试验。精密称取已测知白术内酯I和 III 含量的白术药材粉末 0.5 g,共 6 份,分别精密加入一定量的白术内酯I和 III 对照品,按"1.3.1.2"制备白术内酯粗提液,按"1.3.1.3"色谱条件测定其含量,白术内酯I的平均回收率为 99%, RSD 为 1.63%,白术内酯 III 的平均回收率为 98%, RSD 为 2.13%,表明该方法的回收率较好。

1.3.2 富集工艺优选。

- 1.3.2.1 大孔树脂的预处理。新大孔树脂用 95% 的乙醇浸泡 24 h,过滤,再用 95% 的乙醇冲洗至洗脱液与蒸馏水以 1:1 混合清亮为止,然后用水洗至洗脱液无乙醇味,蒸干后无残余物,用水浸泡备用。
- 1.3.2.2 静态法筛选大孔树脂。准确称取 6 种已处理好的大孔树脂各 2.0 g (用注射器抽干水分后称重),置 250 mL 具塞锥形瓶中,各加入一定浓度的白术提取液 100 mL,将具塞锥形瓶置于摇床,25 ℃恒温振荡 24 h (80 r/min),充分吸附后,过滤,测定滤液中白术内酯I和 III 的含量。同时称取相同质量的各树脂,在 105 ℃下干燥至恒重,测定各树脂的含水率,并计



算其吸附量。按下列公式计算各种树脂静态吸附率:

$$Q = (C_0 - C_1) V/M$$

 $E = (C_0 - C_1) / C_0 \times 100\%$

式中,Q 为吸附量($\mu g/g$);E 为吸附率; C_0 为上样液中白术内酯I或 III 的质量浓度($\mu g/mL$); C_1 为吸附平衡后滤液中白术内酯I或 III 的质量浓度($\mu g/mL$);V 为上样液体积(mL),M 为树脂质量(g)。

将上述吸附饱和的 6 种大孔树脂用适量水洗涤,除去白术内酯提取液,然后加入 50 mL 水,于 25 ℃恒温振荡 120 min,过滤,并用注射器抽干水分。准确加入体积分数 95% 的乙醇溶液 50 mL,25 ℃恒温振荡(80 r/min)解吸 24 h,过滤。精密移取滤液各 10 mL,减压除尽溶剂,残余物用 5% 乙醇定容至 10 mL,测定白术内酯I和 III 的含量,按下列公式计算各种树脂静态解吸率:

 $B = C_2 V_1 / [(C_0 - C_1) V] \times 100\%$

式中,B 为解吸率; C_2 为解吸液中白术内酯I或 III 的质量浓度(μ g/mL); V_1 为解吸剂体积(mL)。

1.3.2.3 静态吸附动力学测定。根据上述试验结果,筛选吸附和解吸效果好的2种大孔树脂进行动力学考察。精密称取大孔树脂2.0g,放入250 mL 具塞三角瓶中,加入白术内酯提取液100 mL(白术内酯I和 III 的含量分别为9.1和32.2 μg/mL),25 ℃恒温振荡(80 r/min),在7 h 内,每0.5 h 取 0.5 mL,取 8 份,然后每1 h 取 0.5 mL,测其白术内酯含量,绘制静态吸附动力学曲线,确定静态吸附平衡时间。

1.3.2.4 柱条件的优选。

- (1)上样液浓度考察。称取 D101 大孔树脂 4 份,湿法装成径高比为 1:6的树脂柱,取 4 种不同浓度白术内酯提取液各 4 BV(白术内酯I和 III 质量浓度分别为 5.1 和 11.2、11.6 和 27.6、15.3 和 43.9、24.5 和 58.7 μg/mL,试验编号依次为1、2、3、4),以 2 BV/h 的流速分别通过 4 根树脂柱,测定流出液白术内酯含量,计算白术内酯的吸附率,优选出最佳上样液浓度。
- (2)上样流速考察。取 4 根径高比为 1:6的 D101 大孔树脂柱,分别以 1、2、3、4 BV/h 的流速连续加入 4 BV 白术内酯提取液(白术内酯 I和 III 的含量分别为 16.3 和 43.1 μg/mL),待提取液全部通过树脂柱后,测定流出液白术内酯

含量,计算白术内酯的吸附率,优选出最佳上样流速。

(3)最大上样量考察。取1根径高比为1:6的 D101 大 孔树脂柱,以1 BV/h 的流速连续加入白术提取液(白术内酯 I和 III 的含量分别为11.4 和29.9 μg/mL),每份收集1 BV,测定白术内酯含量,以收集份数为横坐标、流出液中白术内酯质量浓度为纵坐标作图,根据泄漏情况得出最大上样量。

1.3.2.5 洗脱条件的优选。

- (1)洗脱流速考察。取已知吸附量的4根树脂柱,先用适量去离子水(约16 BV)洗涤树脂至流出液为无色透明,再用4 BV 体积分数为75%的乙醇为洗脱剂,分别以1、2、3、4 BV/h流速洗脱,待洗脱剂全部通过树脂后,测定流出液白术内酯含量,计算白术内酯的洗脱率,优选出最佳洗脱流速。
- (2)洗脱剂浓度考察。取已知吸附量的1根树脂柱,先用适量去离子水洗涤树脂至流出液为无色透明,再依次用2BV体积分数30%、50%和75%乙醇,以2BV/h流速洗脱,每份收集1BV,测定白术内酯含量,计算白术内酯的洗脱率,优选出最佳洗脱剂浓度。
- (3)洗脱剂用量考察。取已知吸附量、并用去离子水洗去提取液的树脂柱 1 根,用 75% 乙醇以 2 BV/h 流速进行洗脱,每份收集 1 BV,测定流出液白术内酯含量,以收集份数为横坐标、流出液中白术内酯质量浓度为纵坐标作图,得出洗脱剂用量。
- 1.3.2.6 大孔树脂重复使用次数的考察。①按优选出工艺

参数进行上样和洗脱,考察大孔树脂重复使用次数。为了提高工作效率,洗脱流程稍作简化,即先用大量水冲洗掉大孔树脂柱中白术提取液,然后只用 3 BV 的 30% 乙醇除杂、8 BV 的 75% 乙醇洗脱。②大孔树脂再生,用 10 BV 95% 乙醇树脂浸泡 3 次,每次 1 h,再用 10 BV 95% 乙醇浸泡 24 h,最后用水洗至无醇味。按①和②重复操作。

2 结果与分析

2.1 大孔树脂的筛选

- 2.1.1 大孔树脂静态吸附 解吸比较。影响大孔树脂吸附性能的因素有很多,通常大孔树脂的结构、极性、粒径、比表面积、孔径以及被吸附分子大小、结构、极性等是影响吸附性能的重要因素,不同型号的树脂,由于结构、极性等存在差异,导致对被吸附分子吸附、解吸的难易程度也不同。为寻找适合富集白术内酯的树脂,该试验选取 D101、NKA、H107、X-5、DM130、AB-8 大孔树脂对白术粗提液进行处理,运用静态吸附和解吸试验进行筛选。由表 1 可知,6 种大孔树脂对白术内酯吸附率和解吸率存在差异,说明大孔树脂对白术内酯的吸附、解吸有一定的选择性。综合考虑吸附和解吸情况,6 种大孔树脂中 D101、NKA 和 AB-8 对白术内酯I和 III 情况相当且效果最佳。李鸿翔等[19] 已用 AB-8 对白术内酯 III 的分离纯化进行了研究,该试验选定 D101 和 NKA 大孔树脂进行进一步考察。
- 2.1.2 静态吸附动力学考察。单用大孔树脂的静态吸附率

表 1 6 种大孔树脂性能、静态吸附和解吸结果解吸结果

 $Table \ 1 \quad Desorption \ results \ , static \ adsorption \ and \ properties \ of \ six \ macroporous \ resins$

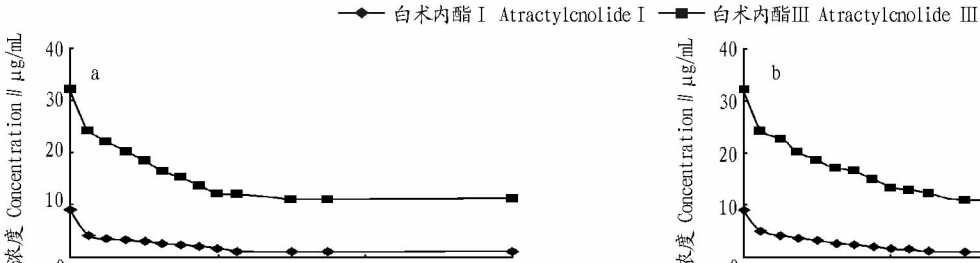
	粒径 Particle size//mm	比表面积 Specific area m²/g	孔径 Bore diameter A°	极性 Polarity	白术内酯I Atractylcnolide I		白术内酯 III Atractylcnolide III	
树脂型号 Resin type					吸附率 Adsorption rate//%	解吸率 Desorption rate//%	吸附率 Adsorption rate//%	解吸率 Desorption rate //%
NKA	0.30 ~ 1.25	570 ~ 590	90 ~ 100	非极性	90.14	93.34	81.08	91.42
D101	$0.30 \sim 1.25$	500 ~ 600	290 ~ 300	非极性	95.27	93.86	80.88	91.77
H107	$0.30 \sim 1.25$	800 ~ 900	60 ~ 80	非极性	82.93	95.46	75.78	92. 16
X-5	$0.30 \sim 1.25$	500 ~600	290 ~ 300	非极性	86.10	88.31	78.01	88.31
DM130	$0.30 \sim 1.25$	500 ~ 550	130 ~ 140	弱极性	83.39	93.33	79.30	90.33
<u>AB -8</u>	0.30 ~ 1.25	480 ~ 520	130 ~ 140	弱极性	89.43	95.48	83.19	90.74

和解吸率来评价其性能不是很全面,还应该考虑其吸附速度,所以需研究其静态吸附动力学特征。由图 2 可知,在 0 ~ 0.5 h 内,D101 大孔树脂对白术内酯I和 III 的吸附较快,随后吸附速度减缓,白术内酯 III 在 4 h 时吸附基本达到平衡,白术内酯I在 4.5 h 时吸附基本达到平衡。NKA 大孔树脂对白术内酯I和 III 的吸附情况与 D101 相似,但在 5 h 时吸附才基本达到平衡,因此,确定用 D101 大孔树脂富集白术粗提物中的白术内酯。

2.2 D101 树脂动态吸附试验

2.2.1 上样液浓度对吸附效果的影响。大孔树脂吸附目标分子时存在一个吸附平衡,该平衡与上样液质量浓度有很大关系。试验中所选的4种质量浓度白术提取液,D101大孔树脂对白术内酯I的吸附率均达100.00%,表明树脂吸附量尚未达到饱和状态;对白术内酯III的吸附率分别为100.00%、100.00%、92.48%和87.91%,表明在白术内酯III

浓度较低的情况下,增加浓度(由 11.2 µg/mL 升至 27.6 µg/mL),吸附率仍能达 100.00%。这是因为浓度较低时,提高上柱液浓度可增加白术内酯分子与树脂的接触,加速白术内酯分子进入树脂内部并迅速扩散,随着浓度的提高树脂的吸附量也随之增加,吸附率保持不变。但若浓度再提高,如由 27.6 µg/mL增加至 43.9 µg/mL 甚至 58.7 µg/mL,吸附率随之而减少。因为随着浓度的再增大,被吸附的杂质量也随之加大,同时树脂接触表面白术内酯分子过多,阻碍其他白术内酯分子进入树脂内部,影响白术内酯分子在树脂内部的扩散,导致树脂吸附率有所下降。但即使在第 4 种浓度下,白术内酯 III 吸附率仍能达 87.91%,说明用 4 种浓度上样均可。总体来看,上样液浓度越大,树脂的吸附量越大,利用率也亦高。但试验中发现,上样液浓度越大浑浊度愈越大,不仅给后面的试验带来麻烦,且造成原料浪费。综合考虑,确定以白术内酯 III 质量浓度为主要参考,不宜超过 60 µg/mL。



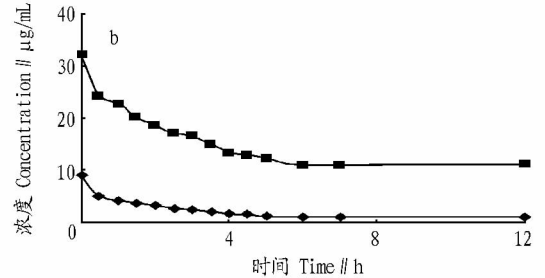


图 2 D101(a)和 NKA(b)大孔树脂的静态吸附动力学曲线

Fig. 2 Static adsorption kinetics curve of D101(A) and NKA(B) macroporous resins

2.2.2 上样流速对吸附效果的影响。试验中所选的4种流 速,D101 大孔树脂对白术内酯I的吸附率均达100.00%,表明 树脂吸附量尚未达到饱和状态;对白术内酯 Ⅲ 的吸附率分 别为94.43%、92.58%、87.70%和85.15%,表明随上样流速 的增加吸附率下降。可能是因为流速较快时,白术内酯 III 与树脂的接触时间较短,来不及扩散到树脂内部并被吸附便 流出,仅仅靠树脂表面的吸附使得吸附率降低。上样流速 慢,白术内酯 III 分子有充足的时间与树脂的内表面接触,增 加对白术内酯 III 的吸附,从而提高吸附率。但流速过慢时, 耗时多,导致循环周期延长。上样流速由 2 BV/h 增加至 3 BV/h 时,吸附率由92.58%下降至87.70%。综合考虑,确定 上样流速为2 BV/h。

时间 Time // h

2.2.3 最大上样量考察。由图 3 可知,用白术内酯I和 III 质 量浓度分别为 11.4 和 29.9 µg/mL 上样液、以 1 BV/h 上样, 在 26 BV 时流出液中白术内酯 III 开始泄露(泄漏点是流出 液中白术内酯浓度为上样浓度的 1/10),此时白术内酯I尚处 于未饱和状态。最终确定该条件下 D101 的最大上样量(以 白术内酯 III 为准)为 26 BV。

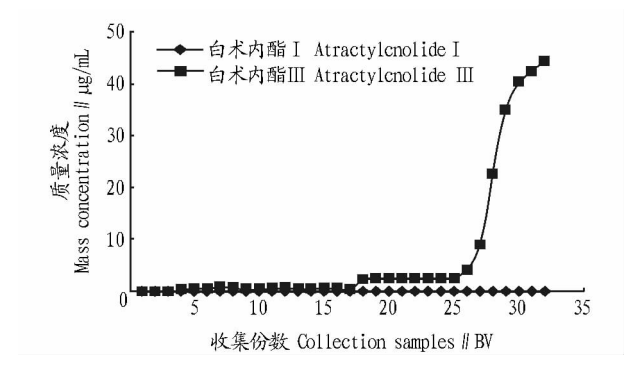


图 3 泄漏曲线 Fig. 3 Leakage curve

2.3 动态解吸参数考察

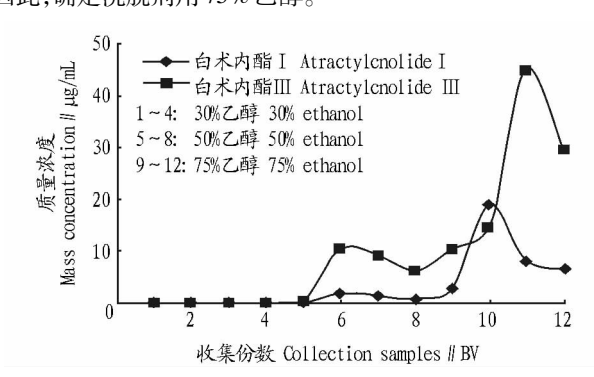
20

洗脱流速对洗脱效果的影响。用 4 BV 体积分数为 75%的乙醇为洗脱剂,以1、2、3、4 BV/h流速进行洗脱,白术 内酯I的洗脱率分别为70.95%、70.27%、68.92%和53.38%, 白术内酯 III 的分别为 93.69%、87.54%、76.62% 和68.86%, 表明随洗脱流速的增大洗脱效果下降,白术内酯I的下降较 缓,白术内酯 III 的下降较明显,总体来看,速度越慢洗脱效 果越好。这可能是因为流速太快,洗脱剂未能与被吸附的白

术内酯进行充分作用而将其从大孔树脂的吸附位点上置换 出。但流速过低,洗脱时间较长。考虑工作效率和综合试验 结果,该研究确定洗脱流速为2 BV/h。

2.3.2 乙醇体积分数对洗脱效果的影响。大孔树脂吸附法 是根据被分离物质与树脂之间吸附力强弱来选择不同的洗 脱剂和相应的洗脱剂浓度。对于极性都小的大孔树脂和被 分离的物质分子来说,洗脱剂极性越小,洗脱效果越好。考 虑到白术内酯通常应用于医药行业中,因此该试验选用无毒 性的乙醇作为洗脱剂。白术内酯I和 III 均为弱极性分子, D101 为非极性大孔树脂,因此,乙醇的体积分数越大洗脱效 果越好。

由图 4 可知,体积分数为 30% 乙醇不能将白术内酯I和 III 从树脂上洗脱下来,50%和75%乙醇均能将白术内酯I和 III 从树脂上洗脱下来,后者的洗脱效果明显好于前者。90% 乙醇对白术内酯I和 III 的洗脱效果更高些,但相应洗脱下的 脂溶性杂质增多,产品中白术内酯I和 III 含量降低且带色。 因此,确定洗脱剂用75%乙醇。



乙醇体积分数对洗脱效果的影响

Fig. 4 Effects of volume fraction of ethanol on eluting effect

- 2.3.3 洗脱剂用量。由图 5 可知,对于白术内酯 III 动态洗 脱曲线,峰单一、尖锐、对称,且没有明显的拖尾现象,洗脱高 峰相对集中在7~12 BV;白术内酯I动态洗脱曲线较平缓,有 拖尾现象。用 6 BV 75% 乙醇基本能将白术内酯 III 从 D101 大孔树脂上洗脱下来,回收率98.24%,此时白术内酯I的回 收率为96.67%, 若再增加5BV洗脱剂, 白术内酯I的回收率 > 100.00% 。
- 2.4 大孔树脂重复使用次数的考察 一般情况下,大孔树 脂在重复使用多次后,因吸附物质会引起树脂中毒。从表 2

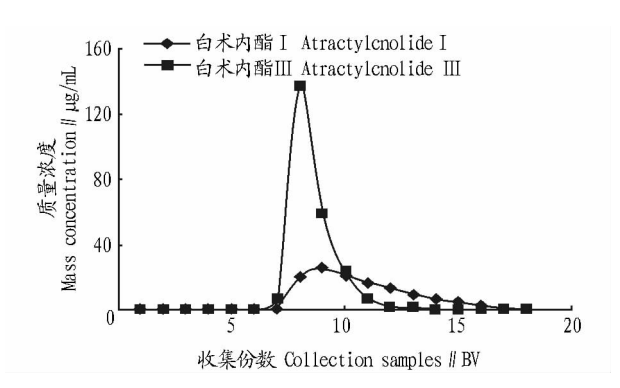


图 5 动态洗脱曲线

Fig. 5 Dynamic elution curve

可看出,树脂随着重复使用次数的增加,白术内酯回收率虽 然有所下降,但重复使用了8次,白术内酯 Ⅲ 的回收率仅减 少不到4%,白术内酯I稍多些,也减少不到8%。说明此工艺 树脂中毒现象较轻,适合白术内酯的重复分离。

表 2 D101 大孔树脂重复使用结果

Table 2 Reuse results of D101 macroporous resin

tt myt. W.	回收率 Recovery rate // %				
使用次数 Using times//次	白术内酯 I Atractylcnolide I	白术内酯 III Atractylenolide III			
1	82.85	95.89			
2	82.47	95.71			
3	81.97	95.44			
4	81.77	95.38			
5	81.59	94.09			
6	81.47	94.10			
7	81.32	93.96			
8	80.99	93.87			

3 结论与讨论

通过比较白术内酯I和 III 静态吸附和解吸效果,从6种 大孔吸附树脂中筛选出 D101 树脂适用于这 2 种白术内酯的 富集。最佳工艺参数:湿法装成径高比1:6的树脂柱,白术内 酯Ⅰ和Ⅲ质量浓度分别为25.6和59.7μg/mL的上样液4 BV,以2BV/h流速上样,依次用大量(15BV以上)水和6 BV 30% 乙醇洗涤树脂,除去上样液和杂质,再用 12 VB 75% 乙醇以2 BV/h 洗脱,此条件下白术内酯I和 Ⅲ 的回收率分 别达 100.00% 和 98.24%。

该试验与文献[19]的差异是:首先增加了一个考察指标 白术内酯[,因为白术内酯]也是白术的主要活性:其次证明了 D101 树脂也适合于白术内酯的分离纯化:第三,白术粗提液 的制法不同,该研究用乙醇为溶媒、超声辅助提取法,因为自 术内酯I和 III 均为弱极性分子,在乙醇中的溶解度大于在水 中的;超声辅助提取法具有快速、省时、节能、高效等优点。 该试验证明,欲制备质量浓度相同的白术内酯 Ⅲ 粗提液,时 间和白术药材均比文献[19]的方法极大地节省,操作程序 简化。

参考文献

- [1] 国家药典委员会. 中华人民共和国药典:2005 年版一部[S]. 北京: 化学 工业出版,2005:68.
- [2] 李雯, 尹华. 白术化学成分的药理作用研究进展[J]. 海峡药学, 2012, 24 (3):9-11.
- [3] 刘昳,叶峰,邱根全,等. 白术内酯区对肿瘤恶病质患者细胞因子和肿瘤 代謝因子的影响[J]. 第一军医大学学报,2005,25(10):1308-1311.
- [4] 邱根全,赵旭升,孙烨,等. 白术挥发油对癌性恶病质的实验研究[J]. 西安交通大学学报(医学版),2006,27(5):477-479.
- [5] 张程荣,曹岗,丛晓东,等. 白术化学成分和质量控制研究进展[J]. 中 华中医药杂志.2011.26(10):2328-2331.
- [6] 丁永明,宋长义,贾天柱. 白术炮制品的质量标准研究[J]. 中成药, 2005,27(6):53 - 56.
- [7] 刘玉强,才谦. 50 批不同来源白术药材及饮片中白术内酯I和白术内酯 III 含量的 HPLC 法测定[J]. 药物分析杂志,2012,32(7):1249-1252.
- [8] 林家寿. 不同采收时期白术的质量测定[J]. 药品鉴定,2011,18(2): 42 - 44.
- [9] 吴佳,王艳平,刘湘丹,等. 白术内酯I和 III 在不同白术样品中的比较研 究[J]. 中国民族民间医药,2009,18(2):4.
- [10] 张静泽,颜艳.吸附树脂分离技术在中药研究中的应用[J].中国中药 杂志,2004,29(7):628-630.
- [11] 易海燕,何桂霞,欧阳文,等.大孔吸附树脂分离纯化藤茶总黄酮的研 究[J]. 中草药,2011,42(1):74-77.
- [12] 胡季强,王如伟,吕燊,等. 大孔树脂分离纯化延胡索总生物碱的工艺 研究[J]. 中国现代应用药学,2009,26(4):271-273.
- [13] 任海伟,陈海秀,唐学慧,等. 大孔树脂纯化薏苡多糖的工艺研究[J]. 食品工业科技,2012,33(3):249-254.
- [14] 何珺,李魏林,钱一鑫,等. 青阳参总皂苷大孔树脂分离纯化工艺研究 J]. 时珍国医国药,2012,23(2):366-367.
- [15] 杨林,何丹. 白术中白术内酯I的超临界 CO, 萃取工艺研究[J]. 中草 药,2009,9(9):1331-1333.
- [16] 王芳. 白术内酯 III 提取工艺研究[J]. 陕西教育学院学报,2008,24
- (3):56-58.[17] 王天宝,贺清源. 超声波提取两种白术内酯的溶剂选择[J]. 现代医药 卫生,2009,25(5):755-756.
- [18] 卫修来,陈镇,夏泉,等.索氏提取法提取白术内酯的工艺研究[J].时 珍国医国药,2009,20(6):1427-1428.
- [19] 李鸿翔,邓赟,彭腾,等. 大孔吸附树脂分离纯化白术水煎液中白术内
- 酯 III 的工艺研究[J]. 中药与临床,2011,2(6):25-27.

(上接第63页)

大。减排实施前后,SO₂ 和 CO 日均浓度均未出现超标现象; NO, 、PM10和PM, 5超标率逐年下降,特别是PM, 5下降幅度显 著,达到11.6个百分点;0,日均值超标率日渐上升。有学者 利用 MM5 模式评估减排降低城市 PM_{2.5}浓度,结果表明,排 放强度越大及 PM2.5浓度越高的区域,采取减排控制措施获 得的空气质量改善效益越大[4-5]。

3 小结

笔者洗取 2013~2015 年数据分析了空气质量变化趋 势,结果表明:SO,、PM10、PM,5和CO年均浓度分别下降3. 8%、12.9%、20.8%和30.2%, PM10和PM25下降幅度较大; NO, 和 O, 年均浓度分别上升 19.2%、19.3%。

加强工业污染治理,整治燃煤锅炉,治理机动车污染,管 控扬尘污染,执行严格的减排措施是空气质量好转的决定性 因素。调整产业结构,夯实大气污染防治工作基础是保证空 气质量持续改善的关键。

参考文献

- [1] 国务院. 大气污染防治行动计划[Z]. 2013 09 12.
- [2] 环境保护部. 长三角地区重点行业大气污染限期治理方案:环发 2014]169号[A].2014-11-17.
- [3] 周海茵,李军.南京市机动车污染物减排因素分析[J].环境监控与预 警,2014,6(4):43 -45.
- [4] 刘俊,安兴琴,朱彤,等. 京津冀及周边减排对北京市 PM, 家度下降评 估研究[J]. 中国环境科学,2014,34(11):2726-2733.
- [5] 吴其重,王自发,徐文帅,等. 多模式模拟评估奥运赛事期间可吸入颗 粒物减排效果[J]. 环境科学学报,2010,30(9):1739-1748.